

**XI Simpósio de Geologia da Amazônia, 2 a 5 de agosto de 2009, Manaus - AM**

**SONDAGEM ELÉTRICA VERTICAL NA ILHA DO MARAJÓ E APLICAÇÃO NO  
DELINAMENTO DA SEDIMENTAÇÃO QUATERNÁRIA**

Lena Silvana Barata Soares, CPGG-IGe/USP ([lsbarata@puelv.uesc.br](mailto:lsbarata@puelv.uesc.br))

Dálie de Fátima Ribeiro, DSE/INPE ([dribeiro@de.inpe.br](mailto:dribeiro@de.inpe.br))

Vagner Roberto Ellis, IAG/USP ([vagelis@igc.usp.br](mailto:vagelis@igc.usp.br))

**RESUMO**

A partir do reprocessamento dos dados de sondagem anteriormente realizadas na Ilha do Marajó, juntas às 21 sondagens recentemente executadas mostraram que os maiores valores de resistividade estão na porção leste da ilha, diminuindo gradualmente para oeste configurando desta forma que o depósito da bacia está na porção central da ilha. Assim, o paleocôlio lateral que delimita os depósitos marinhos daqueles do holoceno é mais pronunciado tanto em superfície como em subsuperfície para leste da ilha, se tornando mais adelgazados e profundos para oeste, onde os depósitos dos sedimentos Pís-Ribeirinhos ficam mais espessos.

**INTRODUÇÃO**

Desde o início dos anos setenta, foram realizadas investigações geofísicas na Ilha do Marajó visando à prospecção de água subterrânea. Destas, Sondagem Elétrica Vertical (SEV) com Arranjo Schlumberger tem sido o método mais utilizado, visto sua boa aplicabilidade no campo hidrogeológico e em terrenos sedimentares, bem como baixo custo operacional. Os dados disponíveis fornecem valores bastante variáveis de resistividade aparente ( $\rho_a$ ). Em geral, valores elevados são registrados no extremo leste da ilha, e valores baixos ocorrem em sua porção central (IDBSP, 1986; Resende, 1979; Kokuyoshi, 1978; Cavalanti, 1979; Passari, 1981). De acordo com estes autores, entre Salvaterra e Ponta de Pedras, os valores de  $\rho_a$  variam mais frequentemente entre 4.000 e 500  $\Omega\text{m}$ , sendo relacionados à maior participação de sedimentos arenosos. Resistividade elevada foi registrada, também, a nordeste da ilha. Valores baixos de resistividade ( $\rho_a < 3 \Omega\text{m}$ ) foram registrados na porção central, onde se localiza o Lago Anini, e nordeste da ilha, as quais foram interpretadas como reflexo de litologias predominantemente argilosas ou elevadas concentrações de sais dissolvidos levando à menor resistividade a uma centena de metros. Curvas com valores excepcionalmente elevados (i.e., de até 43.000  $\Omega\text{m}$ ) foram registradas a profundidades de 30 a 34 m em áreas sem problemas de salinização, sendo vícios os locais em que se obtiveram valores superiores a 15.000  $\Omega\text{m}$  para resistividades de camadas mais superficiais. As altas resistividades das rochas formadoras de aquíferos em Salvaterra foram relacionadas à sua idade geologicamente mais velha que as regiões de Ponta de Pedras e Rio Paracá.

No presente trabalho é apresentado novos valores de resistividade para áreas localizadas no leste da Ilha do Marajó (Fig. 1). Estes dados foram combinados com os valores de resistividade já disponíveis para a ilha, de forma a possibilitar uma análise do caráter geométrico das curvas de sondagem, e assim, analisar a distribuição das unidades geológicas. O objetivo principal foi tentar analisar a distribuição de estilos quaternários, e analisar seu controle tectônico.

**MATERIAIS E MÉTODOS**

Dados disponíveis de SEV coletados na Ilha do Marajó nos anos 70 e 80 foram reprocessados, a fim de obtenção de dados de inversão para elaboração da evolução e comportamento de curvas de resistividade. Adicionalmente, coletou-se 21 novas SEVs nas localidades de Salvaterra, Jeunes e Cachoeira do Anini, com arranjo Schlumberger. O equipamento utilizado foi o Resistímetro GEMTEST RD-300A, com potência nominal de saída de 1000 W, intervalo de leitura de potencial de 0,1 mV a 750 mV e valor máximo de corrente de 300 mA, tendo como fonte duas baterias de autonomia de 12 V cada. Na coleta dos dados foram observadas a integridade dos cabos utilizados e as distâncias entre os eletrodos, cujos engamentos foram regularmente distribuídos em escala métrica. Ruidos culturais locais (insolações de fios, fiação elétrica/telefônica) foram cuidadosamente registrados com o intuito de avaliar sua interferência nas informações obtidas. As sondagens tiveram distância mínima entre eletrodos de corrente igual a 1 m ( $AB/2 = 1 \text{ m}$ ) e máxima de 640 m ( $AB/2 = 320 \text{ m}$ ). O programa utilizado para a inversão das curvas de sondagem foi o IP2Win desenvolvido pela Geoscan-M Ltd.

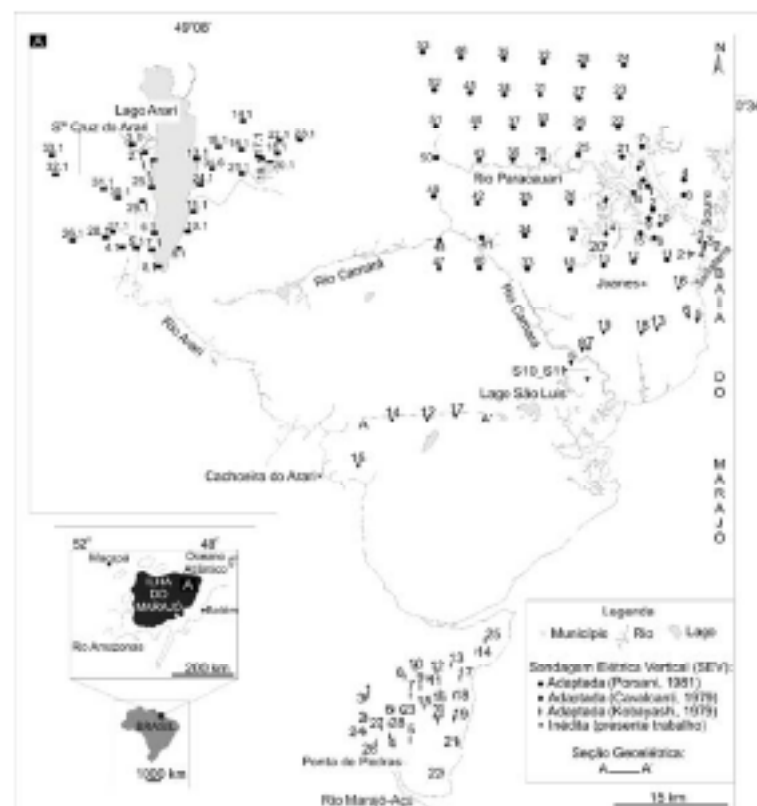


Fig. 1: Mapa de localização na Ilha do Marajó. (A) Posicionamento das SHV, notar que na porção leste da Ilha, as sondagens com símbolos em triângulos são as coletas inéditas deste presente trabalho.

ESTUDOS E DISCUSSÕES

A área de trabalho apresentou excelente disposição para execução das SEVs, por possuir pouco desenvolvimento urbano e topografia geralmente plana. Apenas para uma parte (i.e., Salvaterra), em seu núcleo urbano, a abertura entre os eletrodos (AB e MN) ficou um tanto limitada.

A situação geológica para a área pesquisada é caracterizada por depósitos marinhos pertencentes à Formação Bauruca, que é constituída de arenitos marinhos a estuarinos, argilites laminares a marinhos e pelitas com acinzentamentos heterolíticos, cuja origem é atribuída a ambiente transitionais estuarino (Anxi et al. 1988). Além disto, ocorrem depósitos englobando os sedimentos Pós-Bauruca, constituídos por arenitos finos a médios, marinhos e de colarização intercalada, atribuídos a processos gravitacionais e edáficos (Russetti et al. 1989). O topo da Formação Bauruca é consideravelmente rebaixado por paleociclone heterólico (v.e. Russetti 2004).

A combinação dos dados coletados com aqueles já disponíveis e repassados possibilitaram desenhar um novo quadro no que diz respeito à associação dos valores de  $\rho_t$  no contexto geológico da região. O método de SIR não consegue separar camadas muito delgadas. Logo, o valor de  $\rho_t$  deve ser entendido como uma média dentro de um pacote que não é homogêneo. Se uma porção do terreno tem alta resistividade, deve-se considerar que o pacote referido pode possuir não somente camadas de areia grossa, por exemplo, mas também de camadas finas de argila e até pedras, porém estes em menores volumes. O contrário também pode ocorrer, ou seja, um pacote argiloso de pouca resistividade pode possuir camadas de areia e/ou seixo mais delgadas de resistividade elevada. Contudo, o valor de  $\rho_t$  está intimamente associado aos valores de resistividades dos materiais, de suas frações em volume, e de sua distribuição geométrica em subsuperfície, que influencia as medidas elétricas para uma determinada abertura e atração das eletrodas.

Assim, a inversão dos dados das 21 SEVs revelou meias e/ou meias ferrugíssimas ( $p_t$  de 250 - 500Dm e 550 - 1.500 fm, respectivamente), que gradam para meia ou argila, ou argilarescens ( $p_t$  de 0 - 90 Qm e 95 - 200 Qm, respectivamente). O teor salinométrico letitário que marca a

tipo da Formação Barreiras foi facilmente identificado na área através de valores de resistividade altíssimos, em geral > 1.500 Ohm. Os valores de resistividade relacionados a este paleossolo variam em profundidade, ocorrendo próximos à superfície nas áreas a leste da ilha, em especial nas proximidades de Salvaterra (Fig. 2) e no município de Ponta de Pedras (porção sul da ilha). Abaixo deste horizonte, os valores de resistividade são, em geral, bastante variáveis, sendo relacionados a areias, areias férreas e argila. Em direção à porção central da ilha, os valores são mais uniformes e baixos, sendo estes ocos em profundidades progressivamente maiores nessa direção.

É válido mencionar ainda, que os dados de inversão distinguem as curvas de SEV em: (a) extensão do rio Paracuruari – contém 5 tipos de curvas com caráter moderadamente condutivo, no entanto, as sondagens localizadas na porção leste do rio apresentaram altas resistividades, em virtude da presença do paleossolo latérrico (Fig. III); (b) ao redor do lago Anini – configura 4 tipos de curvas que mostraram-se extremamente condutivas ao longo das 200 m de profundidade; (c) município de Ponta de Pedras – caracterizaram-se apenas por um tipo de curva, a qual mostrou-se altamente resistiva em superfície (< 1 m), diminuindo ao longo da profundidade, indicando a passagem do horizonte latérrico para camadas de areia e/ou argila (Fig. III); e (d) porção leste (municípios de Cachoeira do Anini, Javari e Salvaterra) – característica similar ao anterior, sendo que o horizonte resistivo (i.e., paleossolo latérrico) alcançou os 10 m de profundidade, adelgazando-se em direção aoeste da ilha (Fig. IV).



Fig. 2: Fotos ilustrando a situação geológica na Ilha do Marajó (porção leste).

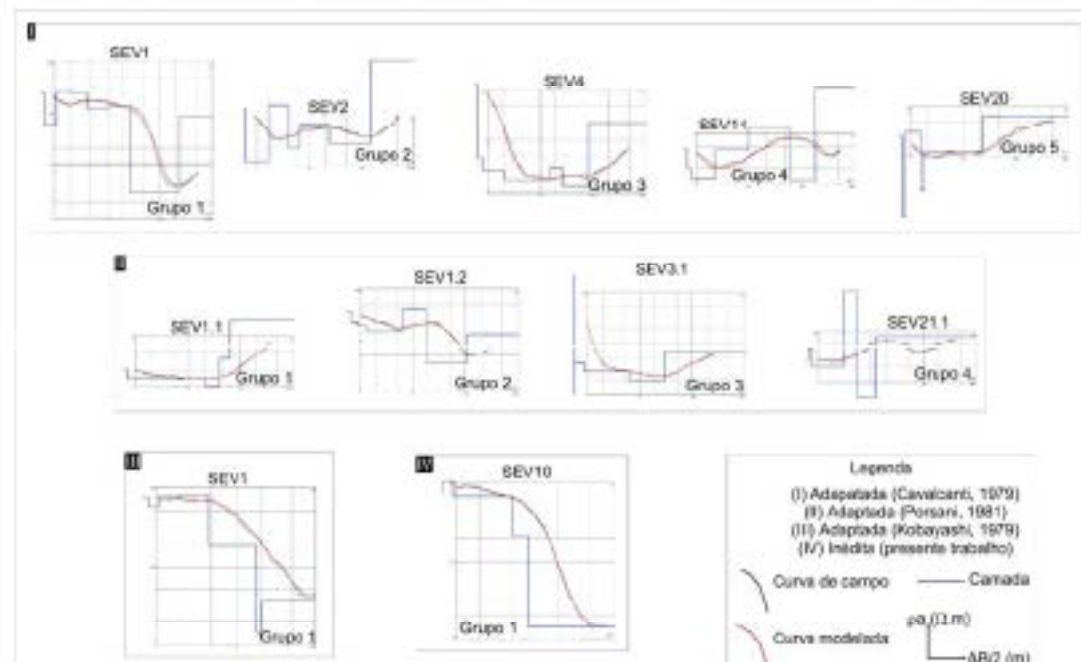


Fig. 3: Exemplo das curvas de SEV modeladas para Ilha do Marajó. Notar que (I), (II) e (III) são dados modificados (Cavalcanti, 1979; Ponsari, 1981; Kobayashi, 1979) respectivamente. (IV) sondagens inéditas realizadas na porção leste da Ilha do Marajó.

## CONCLUSÃO

A integração das SEVs para a porção leste da Ilha do Marajó permitiu o reconhecimento de extensiva sedimentação quaternária sobreposta diretamente a depósitos miocenos da Formação Barracina. Os maiores valores de resistividade diminuem gradualmente paraeste, com valores mínimos nas proximidades do Lago Arari, onde ocorre o depocentro da bacia sedimentação quaternária. Valores mínimos de resistividade são relacionados com a ocorrência de paleocenho laterítico, desenvolvido em associação com a discordância do topo da Formação Barracina. Os valores elevados de resistividade relacionados a este horizonte de ferruginação não distribuídos imediatamente próximos à superfície na porção leste da ilha, onde ocorrem exporações da Formação Barracina. Estes valores tornam-se mais adelgados e profundos para oeste, onde a Formação Barracina é mais profunda. Os dados de SEV também revelaram passagens laterais brechas entre a Formação Barracina e os depósitos quaternários, sugerindo contatos por falhas tecnicas (Fig. 4). Portanto, sugere-se que a Formação Barracina é mais deprimida para oeste em função de solvência tecônica, que teria criado espaço para acomodar os sedimentos quaternários.

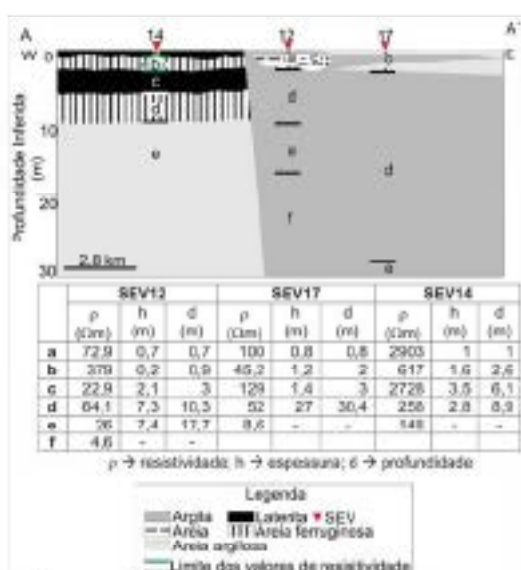


Fig. 4: Exemplo de uma seção geofísica AA' construída a partir das SEV medidas coletadas (ver Fig. 1) na porção leste da Ilha do Marajó, com devidas inferências geológicas baseadas nos dados geofísicos.

## REFERÊNCIAS BIBLIOGRÁFICAS

- Bonatti, C. A. 1979. Eletrorresistividade aplicada ao estudo de águas subterrâneas no Município de Salvaterra - Marajó - Pará. Belém (PA). NCGG-DFPA. 88p. (Dissertação de Mestrado).
- Cavalcanti, G. M. L. 1979. Geofísica aplicada à prospecção de águas subterrâneas na área do Rio Paracuru - Ilha do Marajó - Pará. Belém (PA). NCGG-UFPB. 148p. (Dissertação de Mestrado).
- Instituto de Desenvolvimento Econômico Social do Estado do Pará (IDESP). 1986. Hidrogeologia da Região Oriental da Ilha do Marajó. Belém (PA). Relatório Interno, 97p.
- Kobayashi, C. N. 1979. Métodos geofísicos aplicados à prospecção de águas subterrâneas no Município de Ponta de Pedras. Ilha do Marajó - Pará. Belém (PA). NCGG-UFPB. 93p. (Dissertação de Mestrado).
- Pereira, M. J. 1981. Paleocenho, uma opção para prospecção de águas subterrâneas na Ilha do Marajó. Belém (PA). NCGG-UFPB. 125p. (Dissertação de Mestrado).
- Rossetti, D. P. 2004. Paleosuperfícies from northeastern Amazonia as a key for reconstructing paleolandscapes and understanding weathering products. *Sedimentary Geology*, 169: 151-174.
- Rossetti, D. P., Touchébadi, W.; Góes, A. M. 1999. Estudo paleoenvironmental e estratigráfico dos Sedimentos Barracina e Rio-Barracina na região Eraguá, nordeste do Pará. Bel. Museu Paraense Emílio Goeldi, sér. Ciências da Terra, 1, 1: 25-29.